

ОБЪЕДИНЕННЫЙ
ИНСТИТУТ
ЯДЕРНЫХ
ИССЛЕДОВАНИЙ
ДУБНА



С 323

P4 - 10139

Л-934

В.Л.Любошиц

467/1-77

О КОГЕРЕНТНЫХ СВОЙСТВАХ СИСТЕМЫ
ДВУХ ОДИНАКОВЫХ КВАНТОВЫХ ИЗЛУЧАТЕЛЕЙ
ПРИ ЭЛЕКТРИЧЕСКИХ И МАГНИТНЫХ
ПЕРЕХОДАХ ПРОИЗВОЛЬНОЙ МУЛЬТИПЛЬНОСТИ

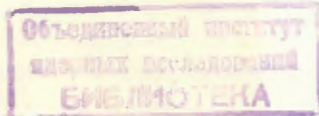
1976

P4 - 10139

В.Л.Любошиц

О КОГЕРЕНТНЫХ СВОЙСТВАХ СИСТЕМЫ
ДВУХ ОДИНАКОВЫХ КВАНТОВЫХ ИЗЛУЧАТЕЛЕЙ
ПРИ ЭЛЕКТРИЧЕСКИХ И МАГНИТНЫХ
ПЕРЕХОДАХ ПРОИЗВОЛЬНОЙ МУЛЬТИПЛЬНОСТИ

Направлено в ЖЭТФ



S u m m a r y

The spectrum and the angular distribution of the radiation for the system of two identical two-level centers are investigated, one of them being in the excited state with an integral spin L and the other in the ground state with zero spin. The values of energies and widths of collective excited states for an arbitrary distances between the centers A and B are calculated. The energy and angular dependences of the effective cross-section of the photon resonance scattering on two identical centers are obtained. The spin structure of the resonance interaction between the excited nucleus (atom) and the non-excited one in the case of EL and ML transitions is considered.

§1. Введение

Когерентные явления при излучении системы возбужденных молекул, окруженных невозбужденными молекулами того же типа, были впервые рассмотрены в известной работе Дикке /1/. В этой работе предполагалось, что длина волны фотона гораздо больше расстояния между молекулами ($\lambda \gg R$). Противоположный предельный случай $\lambda \ll R$ обсуждался затем Подгорецким и Ройзеном в рамках классической теории осцилляторов, связанных полем излучения /2/. Как было показано в работах /3-8/, в случае двух одинаковых центров /атомов, ядер/, один из которых находится в основном состоянии с нулевым спином, а другой - в возбужденном состоянии со спином 1, задача Дикке допускает точное аналитическое решение при произвольных значениях параметра R/λ . Спектр излучения такой системы, а также энергетическая и угловая зависимости эффективного сечения резонансного рассеяния фотонов на двух бессpinовых центрах /5,7/ полностью определяются значениями энергий и ширин симметричных и антисимметричных двухчастичных состояний, отвечающих возбуждению одного из центров. Сказанное относится и к спектру излучения двух одинаковых возбужденных атомов, который изучался в работе /9/. Явные выражения для сдвигов частот и ширин спектральных линий непосредственно следуют из теории резонансного взаимодействия /см. /3,4,6/. К тем же результатам приводит и чисто классическая теория многократного рассеяния электромагнитных волн на двух одинаковых изотропных осцилляторах /5/.

В цитированных выше работах и других статьях, посвященных различным аспектам проблемы Дикке /см., напр., /10-13/, подразумевалось, что электромагнитное излучение носит дипольный характер. Целью настоящей работы является исследование спектральных и угловых характеристик излучения и резонансного рассеяния фотонов в случае, когда взаимодействие между возбужденным и невозбужденным центрами осуществляется за счет электрических или магнитных переходов произвольной мультипольности. При этом непосредственно обобщаются результаты работ /5,6/, относящиеся к E1-переходам.

§2. Коллективные возбужденные состояния

Рассмотрим двухуровневый центр /например, ядро/, возбужденное состояние которого имеет энергию E_B и спин $L \geq 1$, а основное состояние - энергию E_A и спин, равный нулю. В зависимости от относительной четности состояний B и A распаду $B \rightarrow A + \gamma$ соответствует 2^L -полярное электрическое или магнитное излучение с частотой $\omega_0 = \frac{E_B - E_A}{\hbar}$. Предположим, что два таких центра,

один из которых находится в возбужденном, а другой - в основном состоянии, неподвижно закреплены в точках \vec{R}_1 и \vec{R}_2 . При отсутствии электромагнитного взаимодействия между центрами мы имеем $2(2L+1)$ вырожденных состояний $|A(1)\rangle|B_m(2)\rangle$ и $|B_m(1)\rangle|A(2)\rangle$. Здесь $m=0, \pm 1, \pm 2, \dots \pm L$ -проекция спина возбужденного состояния на вектор $\vec{R} = \vec{R}_1 - \vec{R}_2$. За счет обмена фотоном происходит передача возбуждения от одного центра к другому, и вырождение снимается. Легко видеть, что ввиду осевой симметрии и сохранения пространственной четности матричные элементы резонансного взаимодействия между центрами A и B имеют структуру

$$\begin{aligned} & \langle A(1)B_m(2)|\hat{V}|B_m(1)A(2)\rangle = \langle B_m(1)A(2)|\hat{V}|A(1)B_m(2)\rangle = \\ & = \hbar\gamma_L U_{|m|}^{(L)}(x) \delta_{mm}. \end{aligned} \quad /1/$$

В формуле /1/ γ_L - радиационная ширина изолированного центра B, не зависящая от квантового числа m ($0 \leq |m| \leq L$); величины $U_{|m|}^{(L)}$ представляют собой комплексные функции безразмерного параметра x

$$x = k_0 R = \frac{E_B - E_A}{\hbar c} |\vec{R}_1 - \vec{R}_2|. \quad /2/$$

Как мы увидим в дальнейшем, для E1- и M1-переходов функции $U_{|m|}^{(L)}(x)$ совпадают.

С учетом /1/ квазистационарные состояния системы AB, отвечающие возбуждению одного из центров, должны быть симметричны или антисимметричны относительно перестановки $B \leftrightarrow A$ /6/ :

$$|\psi_m^{(\pm)}\rangle = \frac{1}{\sqrt{2}} (|A(1)\rangle|B_m(2)\rangle \pm |B_m(1)\rangle|A(2)\rangle). \quad /3/$$

Их энергии равны

$$E_m^{(\pm)} = E_A + E_B \pm \hbar\gamma_L \operatorname{Re} U_{|m|}^{(L)}(x), \quad /4/$$

а радиационные ширины

$$\gamma_{L,m}^{(\pm)} = \gamma_L (1 \mp 2\operatorname{Im} U_{|m|}^{(L)}(x)). \quad /5/$$

В соотношениях /4/ и /5/ верхний знак относится к симметричным коллективным состояниям $|\psi_m^{(+)}\rangle$, а нижний - к антисимметричным состояниям $|\psi_m^{(-)}\rangle$. Отклонения радиационных ширин от значения γ_L связаны с когерентным излучением двух центров. Данный механизм, очевидно, не оказывает никакого влияния на парциальные ширины, соответствующие нерадиационным каналам распада. Поэтому изменения полных и радиационных ширин равны друг другу и составляют

$$\Delta\gamma_{L,m} = \gamma_{L,m}^{(+)} - \gamma_L = \gamma_L - \gamma_{L,m}^{(-)} = -2\gamma_L \operatorname{Im} U_{|m|}^{(L)}(x). \quad /6/$$

Согласно /6/, средние времена жизни коллективных возбужденных состояний определяются по формуле

$$\tau_{L,m}^{(\pm)} = \frac{\tau^{(0)}}{1 \pm \tau^{(0)} \Delta\gamma_{L,m}}, \quad /7/$$

где $\tau = 1/\gamma_{\text{полн.}}$ - среднее время жизни изолированного возбужденного центра. Очевидно, что спектральная линия с частотой ω_0 и шириной $\gamma_{\text{полн.}}$ расщепляется на компоненты с частотами

$$\omega_{L,m}^{(\pm)} = \omega_0 \pm \Delta\omega_{L,m} = \omega_0 \pm \gamma_L \operatorname{Re} U_{|m|}^{(L)}(x) \quad /8/$$

и ширинами $\gamma_{L,m}^{(\pm)}(\text{полн.}) = \gamma_{\text{полн.}} \pm \Delta\gamma_{L,m}$.

Поскольку остается вырождение по знаку проекции спина, число новых спектральных линий равно $2(L+1)$. В дальнейшем мы будем считать, что излучение фотона является единственным каналом распада состояния B, т.е. $\gamma_{\text{полн.}} = \gamma_L$.

Задача теперь состоит в определении явного вида функций $U_{|m|}^{(L)}(x)$, характеризующих когерентные свойства системы двух идентичных центров. В частном случае дипольных переходов ($L=1$) соответствующие выражения были получены в работе /6/:

$$U_1^{(1)}(x) = \frac{3}{4} \left(\frac{1}{x^3} - \frac{1}{x} - \frac{i}{x^2} \right) e^{ix}, \quad /9/$$

$$U_0^{(1)}(x) = \frac{3}{2} \left(\frac{i}{x^2} - \frac{1}{x^3} \right) e^{ix}.$$

§3. Резонансное взаимодействие при E1- и M1-переходах

Для вычисления комплексных функций $U_{|m|}^{(L)}(x)$ воспользуемся известным выражением для эффективной энергии запаздывающего электромагнитного взаимодействия двух токов, сосредоточенных в окрестностях точек \vec{R}_1 и \vec{R}_2 /см. /14/, /§32.2/

* Здесь и в следующих разделах предполагается, что время жизни системы велико по сравнению с временем распространения сигнала между двумя центрами:

$$\frac{\gamma_{\text{полн.}} |\vec{R}_1 - \vec{R}_2|}{c} \ll 1, \quad \tau \gg \frac{|\vec{R}_1 - \vec{R}_2|}{c}.$$

$$\langle B(1)A(2) | \hat{V} | A(1)B(2) \rangle =$$

$$= \iint j_{AB}^{(1)}(\vec{r}_1 - \vec{R}_1) j_{AB}^{*(2)}(\vec{r}_2 - \vec{R}_2) \frac{e^{i\vec{k}_0 \cdot |\vec{r}_1 - \vec{r}_2|}}{|\vec{r}_1 - \vec{r}_2|} d^3 r_1 d^3 r_2. \quad /10/$$

Здесь $j_{AB} = \rho_{AB} j_{AB}$ - 4-мерная плотность тока "перехода" между стационарными состояниями B и A, разность энергий которых $E_B - E_A = \hbar c k_0$. Переходя к компонентам Фурье

$$j_{AB}^{(1)}(\vec{k}) = \int j_{AB}^{(1)}(\vec{r}_1 - \vec{R}_1) e^{-i(\vec{k}, \vec{r}_1 - \vec{R}_1)} d^3 r_1, \quad /11/$$

$$j_{AB}^{(2)*}(\vec{k}) = \int j_{AB}^{(2)*}(\vec{r}_2 - \vec{R}_2) e^{i(\vec{k}, \vec{r}_2 - \vec{R}_2)} d^3 r_2,$$

мы можем переписать формулу /10/ в виде интеграла

$$\langle B(1)A(2) | \hat{V} | A(1)B(2) \rangle = \int \frac{\rho_{AB}^{(1)}(\vec{k}) \rho_{AB}^{(2)*}(\vec{k}) - j_{AB}^{(1)}(\vec{k}) j_{AB}^{(2)*}(\vec{k})}{\vec{k}^2 - k_0^2 - i0} e^{i(\vec{k}, \vec{R}_1 - \vec{R}_2)} d^3 k. \quad /12/$$

В интересующей нас задаче $j_{AB}^{(1)}(\vec{k}) = j_{AB}^{(2)}(\vec{k})$. Из релятивистской инвариантности и сохранения тока следует, что если спин основного состояния равен нулю, а возбужденного - 1, компоненты 4-мерного тока перехода при относительной четности $\eta_{AB} = (-1)^L$ имеют структуру /см. /14/ /15/ §25.5, §143/:

$$\rho_{ABm}(\vec{k}) = \sqrt{\frac{4\pi}{2L+1}} \frac{\kappa^L}{(2L-1)!!} Y_{Lm}(\frac{\vec{k}}{\kappa}) Q_{Lm}^{(\Theta)} f_L^{(\Theta)} (k_0^2 - \vec{k}^2),$$

/13/

$$\vec{j}_{ABm}(\vec{\kappa}) = \sqrt{\frac{4\pi(L+1)}{L(2L+1)}} \frac{k_0^L \kappa^{L-1}}{(2L-1)!!} \{ \vec{Y}_{Lm}^{(e)}(\frac{\vec{\kappa}}{\kappa}) +$$

$$+ \sqrt{\frac{L}{L+1}} \frac{\vec{\kappa}}{\kappa} \vec{Y}_{Lm}(\frac{\vec{\kappa}}{\kappa}) \} Q_{Lm}^{(e)} f_L^{(e)}(k_0^2 - \vec{\kappa}^2).$$

Если $\eta_{AB} = (-1)^{L+1}$, то

$$\rho_{ABm}(\vec{\kappa}) = 0, \quad /14/$$

$$\vec{j}_{ABm}(\vec{\kappa}) = \sqrt{\frac{4\pi(L+1)}{L(2L+1)}} \frac{\kappa^L}{(2L-1)!!} \vec{Y}_{Lm}^{(M)}(\frac{\vec{\kappa}}{\kappa}) Q_{Lm}^{(M)} f_L^{(M)}(k_0^2 - \vec{\kappa}^2).$$

В формулах /13/-/14/ $\vec{Y}_{Lm}^{(e)}(\frac{\vec{\kappa}}{\kappa})$ и $\vec{Y}_{Lm}^{(M)}(\frac{\vec{\kappa}}{\kappa})$ - нормированные поперечные шаровые векторы ($\kappa = |\vec{\kappa}|$), $\vec{Y}_{Lm}(\frac{\vec{\kappa}}{\kappa})$ - сферическая функция, $Q_{Lm}^{(e)}$ и $Q_{Lm}^{(M)}$ - соответственно электрический и магнитный мультипольные моменты перехода, определяющие вероятность излучения реального фотона /в рассматриваемом случае величина Q_{Lm} не зависит от m ; $f_L^{(e)}(k_0^2 - \vec{\kappa}^2)$ и $f_L^{(M)}(k_0^2 - \vec{\kappa}^2)$ - формфакторы, учитывающие виртуальность фотона и удовлетворяющие условию $f_L(0) = 1$.

Мы будем пользоваться приближением точечных центров и в соответствии с этим считать, что $f_L^{(e)}(k_0^2 - \vec{\kappa}^2) = f_L^{(M)}(k_0^2 - \vec{\kappa}^2) = 1$ и при значениях $Z = k_0^2 - \vec{\kappa}^2$, не равных нулю *. При вычислении интегралов /12/ воспользуемся

* Энергетической зависимости формфакторов от переменной $Z = k_0^2 - \vec{\kappa}^2$ отвечает контактное взаимодействие, которое исчезает, если пространственные распределения токов не перекрываются. Реальные атомы и ядра не имеют резких границ, и в связи с этим наше рассмотрение применимо при значениях R , существенно превышающих эффективные размеры центров.

разложением $|\vec{Y}_{Lm}^{(e)}(\frac{\vec{\kappa}}{\kappa})|^2$ и $|\vec{Y}_{Lm}^{(M)}(\frac{\vec{\kappa}}{\kappa})|^2$ по полиномам Лежандра

$$|\vec{Y}_{Lm}^{(e)}(\frac{\vec{\kappa}}{\kappa})|^2 = |\vec{Y}_{Lm}^{(M)}(\frac{\vec{\kappa}}{\kappa})|^2 = \\ = \frac{2L+1}{4\pi} (-1)^{m+1} \sum_{n=0}^L C_{L, L-m}^{2n0} C_{L, m}^{2n0} P_n(\cos\theta), \quad /15/$$

где $C_{L, m}^{2n0}$ - коэффициенты Клебша - Гордона, θ - угол между $\vec{\kappa}$ и осью квантования углового момента $\vec{R} = \vec{R}_1 - \vec{R}_2$. Как известно,

$$\int_0^\pi P_\ell(\cos\theta) e^{ikR \cos\theta} \sin\theta d\theta = 2i^\ell \sqrt{\frac{\pi}{2\kappa R}} J_{\ell+\frac{1}{2}}(kR), \quad /16/$$

где $\kappa = |\vec{\kappa}|$, $R = |\vec{R}|$, $J_{\ell+\frac{1}{2}}$ - функция Бесселя:

$$J_{\ell+\frac{1}{2}}(kR) = \sqrt{\frac{2\kappa R}{\pi}} (-1)^\ell \left(\frac{R}{\kappa}\right)^\ell \left(\frac{d}{RdR}\right)^\ell \frac{\sin\kappa R}{\kappa R}.$$

С учетом /16/ нетрудно показать, что при $R \neq 0$ и целых значениях индексов n и p ($p \geq n$) справедливо соотношение

$$\int \frac{P_{2n}(\cos\theta) e^{ikR \cos\theta}}{\kappa^2 - k_0^2 - i0} \kappa^2 p_d^3 d\kappa =$$

$$= (2\pi)^2 (-1)^n k_0^{2p+1} \left(\frac{R}{k_0}\right)^{2n} \left(\frac{d}{RdR}\right)^{2n} \frac{e^{ik_0 R}}{k_0 R}.$$

Здесь подразумевается, что после интегрирования отбрасываются выражения, осциллирующие при бесконечных

значениях аргумента; в физической ситуации члены такого рода обращаются в нуль при усреднении по сколь угодно малому разбросу расстояний R .

Легко видеть, что, согласно равенствам /13/ и /14/, подынтегральные выражения в /12/, соответствующие EL и ML -переходам, отличаются друг от друга членом, пропорциональным $k^{2(L-1)}(k^2 - k_0^2)$. В силу /17/ вклад этого члена в интеграл равен нулю *. Таким образом, окончательный результат не зависит от относительной четности состояний A и B . На основе /15/ и /17/ получаем

$$\begin{aligned} U_{|m|}^{(L)}(x) &= \frac{1}{2} \sum_{n=0}^L (-1)^{n+m} (2L+1) C_{L1L-1}^{2n0} C_{LmL-m}^{2n0} \left(\frac{d}{xdx}\right)^{2n} \frac{e^{ix}}{x} = \\ &= \frac{1}{2} i \sum_{n=0}^L (-1)^{n+m} (2L+1) C_{L1L-1}^{2n0} C_{LmL-m}^{2n0} \sqrt{\frac{\pi}{2x}} H_{2n+\frac{1}{2}}^{(1)}(x), \end{aligned} \quad /18/$$

где $H_{2n+\frac{1}{2}}^{(1)}(x)$ - функция Ганкеля первого рода. Радиационная ширина /вероятность 2^L -полного излучения/, входящая в структурные формулы §2, имеет вид:

$$\gamma_L = \frac{1}{\hbar} |Q_{Lm}|^2 k_0^{2L+1} \frac{2(L+1)}{L(2L+1)!!(2L-1)!!}. \quad /19/$$

В частности, при $L=1$

$$U_1^{(1)}(x) = \left[\frac{1}{2} x^2 \left(\frac{d}{xdx}\right)^2 \frac{e^{ix}}{x} - \frac{e^{ix}}{x} \right],$$

$$U_0^{(1)}(x) = - \left[x^2 \left(\frac{d}{xdx}\right)^2 \frac{e^{ix}}{x} + \frac{e^{ix}}{x} \right].$$

Эти формулы полностью эквивалентны выражениям /9/.

* В частности, в случае бессpinовых центров A и B ($E(0)$ -переход) резонансное взаимодействие отсутствует при любых конечных R .

Согласно /6/, /8/ и /18/, изменения ширин и сдвиги частот спектральных линий представляют собой осциллирующие функции параметра $x = k_0 R$:

$$\begin{aligned} \Delta\gamma_{L,m} &= \gamma_L \left\{ \frac{\sin x}{x} - (2L+1) \sum_{n=1}^L (-1)^{n+m} C_{L1L-1}^{2n0} C_{LmL-m}^{2n0} \sqrt{\frac{\pi}{2x}} J_{2n+\frac{1}{2}}(x) \right\}, \\ \Delta\omega_{L,m} &= \frac{\gamma_L}{2} \left\{ -\frac{\cos x}{x} + (2L+1) \sum_{n=1}^L (-1)^{n+m} G_{L1L-1}^{2n0} C_{LmL-m}^{2n0} \sqrt{\frac{\pi}{2x}} J_{-2n-\frac{1}{2}}(x) \right\}. \end{aligned} \quad /20/$$

Рассмотрим предельные случаи малых и больших расстояний между двумя центрами. Легко видеть, что при $R \ll \lambda$ ($x \ll 1$) ширины симметричных возбужденных состояний удваиваются, а ширины антисимметричных состояний исчезающе малы ($\text{Im } U_{|m|}^{(L)}(0) = -\frac{1}{2}$). Простые вычисления дают

$$\begin{aligned} \gamma_{L,m}^{(-)} &= \gamma_L x^2 \left(\frac{1}{6} + \frac{2L+1}{15} C_{L1L-1}^{20} C_{LmL-m}^{20} (-1)^{m+1} \right) = \\ &= \frac{1}{6} \gamma_L x^2 \left\{ 1 + \frac{2[3m^2 - L(L+1)][3 - L(L+1)]}{(2L-1)L(L+1)(2L+3)} \right\}. \end{aligned} \quad /21/$$

Сдвиги частот при $x \ll 1$ пропорциональны $x^{-(2L+1)}$; с учетом явного вида коэффициентов $C_{LmL-m}^{2L,0}$

$$\Delta\omega_{L,m} = (-1)^{L+m} \gamma_L \frac{(2L+1)![2L!]^2}{(L+m)!(L-m)!(L+1)!(L-1)!} \left(\frac{1}{2x}\right)^{2L+1}. \quad /22/$$

При этом $|\Delta\omega_{L,m}/\gamma_L| \geq 1$. Данный результат можно также получить на основании явного вида оператора электростатического /магнитостатического/ взаимодействия двух электрических /магнитных/ 2^L -поляных моментов:

$$\hat{V}(R) = \sum_{m=-L}^L (-1)^{L+m} \frac{(2L)!}{(L+m)!(L-m)!} \hat{Q}_{Lm}^{*(1)} \hat{Q}_{Lm}^{(2)} \frac{1}{R^{2L+1}}. \quad /23/$$

Если $x > 1$, проще исходить не из соотношений /20/, а воспользоваться еще до интегрирования представлением шаровых векторов через d -функции Вигнера /'16/, §16/:

$$|\vec{Y}_{Lm}^{(M)}(\frac{\vec{k}}{k})|^2 = |\vec{Y}_{Lm}^{(E)}(\frac{\vec{k}}{k})|^2 = \\ = \frac{2L+1}{8\pi} [(d_{|m|,1}^{(L)}(\theta))^2 + (d_{|m|,-1}^{(L)}(\theta))^2] = \quad /24/$$

$$= \frac{2L+1}{8\pi} \sum_{n=0}^L \beta_n^{(L,m)} (\cos \theta)^{2n}.$$

Функции $U_{|m|}^{(L)}(x)$ могут быть заданы с помощью коэффициентов $\beta_n^{(L,m)}$.

$$U_{|m|}^{(L)}(x) = -\frac{2L+1}{4} \sum_{n=0}^L (-1)^n \beta_n^{(L,m)} \frac{d^{2n}}{dx^{2n}} \left(\frac{e^{ix}}{x} \right). \quad /25/$$

При $x > 1$ основной вклад в интеграл /12/ вносит область малых углов, в которой $d_{|m|,\pm 1}^{(L)}(\theta) \sim (\sin \theta)^{|m| \mp 1}$. Отсюда следуют асимптотические выражения:

$$U_1^{(L)}(x) = -\frac{2L+1}{4} \frac{e^{ix}}{x}, \quad U_0^{(L)}(x) = i \frac{2L+1}{4} L(L+1) \frac{e^{ix}}{x^2}, \\ U_{|m| \geq 2}^{(L)} = -\frac{2L+1}{2} \frac{(L+|m|)!}{(L-|m|)! L(L+1)} (-i)^{|m|-1} \frac{e^{ix}}{(2x)^{|m|}}. \quad /26/$$

* Выражением /25/ удобно пользоваться при небольших L , когда зависимость d -функций от угла имеет простой вид. В частности, при $L=2$

$$U_1^{(2)}(x) = -\frac{5}{8} \left(1 + 3 \frac{d^2}{dx^2} + 4 \frac{d^4}{dx^4} \right) \frac{e^{ix}}{x}, \\ U_0^{(2)}(x) = \frac{15}{4} \left(\frac{d^2}{dx^2} + \frac{d^4}{dx^4} \right) \frac{e^{ix}}{x}, \quad U_2^{(2)}(x) = -\frac{5}{8} \left(1 - \frac{d^4}{dx^4} \right) \frac{e^{ix}}{x}.$$

§4. Основные эффекты

a. Угловое распределение излучения. Выражение /20/ для изменения ширин можно получить путем непосредственного вычисления вероятности распада коллективных состояний /3/. В рассматриваемом случае спиральные амплитуды распада имеют вид

$$A_{1m}^{(\pm)}(\theta, \phi) = d_{1m}^{(L)}(\theta) e^{im\phi} b_{\pm}^{(\pm)}(\theta), \quad /27/$$

$$A_{-1m}^{(\pm)}(\theta, \phi) = \eta_{AB} (-1)^{L+1} d_{-1m}^{(L)}(\theta) e^{im\phi} b_{\pm}^{(\pm)}(\theta),$$

причем

$$b_{\pm}^{(\pm)} = \frac{1}{2} \sqrt{\gamma_L \frac{2L+1}{4\pi}} \{ \exp(i \frac{k_0 R \cos \theta}{2}) \pm \exp(-i \frac{k_0 R \cos \theta}{2}) \}. \quad /27'$$

Здесь θ - угол между вектором \vec{R} и импульсом фотона \vec{k} ; фактор $\eta_{AB} (-1)^{L+1}$ равен +1 для ML-переходов и -1 для EL-переходов. Легко видеть, что $\gamma_{L,m}^{(\pm)} = 2\pi \int_{-1}^1 W_{L,m}^{(\pm)}(\cos \theta) d(\cos \theta)$, где

$$W_{1m}^{(\pm)}(\cos \theta) = |A_{1m}^{(\pm)}(\theta, \phi)|^2 + |A_{-1m}^{(\pm)}(\theta, \phi)|^2 = \quad /28/$$

$$= \frac{2L+1}{8\pi} \gamma_L [(d_{1m}^{(L)}(\theta))^2 + (d_{-1m}^{(L)}(\theta))^2] [1 \pm \cos(k_0 R \cos \theta)].$$

Мы видим, что угловые распределения электрического и магнитного 2^L -польного излучения одинаковы. Излучению фотона с вектором линейной поляризации, параллельным плоскости (\vec{k}, \vec{R}) , отвечает комбинация

$$\frac{1}{\sqrt{2}} (A_{1m}^{(\pm)}(\theta, \phi) + A_{-1m}^{(\pm)}(\theta, \phi)), \quad /29/$$

а излучению фотона, поляризованного перпендикулярно плоскости (\vec{k}, \vec{R}) , - комбинация

$$\frac{1}{\sqrt{2}} (A_{1m}^{(\pm)}(\theta, \phi) - A_{-1m}^{(\pm)}(\theta, \phi)). \quad /29'$$

Так как амплитуды /27/ факторизуются, интерференция излучения двух центров, которая приводит к угловой зависимости $\cos(k_0 R \cos \theta)$, не сказывается на поляризации.

б. Резонансное рассеяние. Зная энергию, ширины и амплитуды распада промежуточных коллективных состояний, мы можем написать явное выражение для амплитуды резонансного рассеяния фотона на двух бессpinовых центрах. Пусть θ_0 и θ - углы между вектором \vec{k} и импульсами фотона соответственно до и после рассеяния, ϕ - азимутальный угол между плоскостями, проходящими через \vec{R} и направления импульсов падающего и рассеянного фотонов, r и r' - спиральности фотона до и после рассеяния ($r, r' = \pm 1$). Тогда

$$\begin{aligned} f_{rr'}^{(L)}(\theta_0, \theta, \phi) &= \\ &= \frac{2L+1}{2k_0} \gamma_L \left\{ \cos\left(\frac{k_0 R \cos \theta_0}{2}\right) \cos\left(\frac{k_0 R \cos \theta}{2}\right) \times \right. \\ &\times \sum_{m=-L}^L \frac{d_{rm}^{(L)}(\theta_0) d_{r'm}^{(L)}(\theta) e^{im\phi}}{\omega_{L,m}^{(+)} - \omega - \frac{i}{2} \gamma_{L,m}^{(+)}} + \\ &+ \sin\left(\frac{k_0 R \cos \theta_0}{2}\right) \sin\left(\frac{k_0 R \cos \theta}{2}\right) \times \\ &\times \sum_{m=-L}^L \frac{d_{rm}^{(L)}(\theta_0) d_{r'm}^{(L)}(\theta) e^{im\phi}}{\omega_{L,m}^{(-)} - \omega - \frac{i}{2} \gamma_{L,m}^{(-)}} \}. \end{aligned} \quad /30/$$

Полное сечение резонансного рассеяния легко найти с помощью оптической теоремы. Для неполяризованных фотонов

$$\begin{aligned} \sigma^{(L)} &= \frac{4\pi}{k_0} \frac{1}{2} \operatorname{Im}(f_{11}^{(L)}(\theta_0, \theta_0, 0) + f_{-1-1}^{(L)}(\theta_0, \theta_0, 0)) = \\ &= \frac{\pi}{k_0^2} (2L+1) \gamma_L \left\{ \cos^2\left(\frac{k_0 R \cos \theta_0}{2}\right) \sum_{m=-L}^L \frac{\gamma_{L,m}^{(+)} (d_{1m}^{(L)}(\theta_0))^2}{(\omega_{L,m}^{(+)} - \omega)^2 + \frac{1}{4} (\gamma_{L,m}^{(+)})^2} + \right. \\ &\left. + \sin^2\left(\frac{k_0 R \cos \theta_0}{2}\right) \sum_{m=-L}^L \frac{\gamma_{L,m}^{(-)} (d_{1m}^{(L)}(\theta_0))^2}{(\omega_{L,m}^{(-)} - \omega)^2 + \frac{1}{4} (\gamma_{L,m}^{(-)})^2} \right\}. \end{aligned} \quad /31/$$

Мы здесь учли, что $\sum_m (d_{1m}^{(L)}(\theta_0))^2 = \sum_m (d_{-1m}^{(L)}(\theta_0))^2$. При $L=1$ из формулы /31/ непосредственно следуют результаты работы /5/ для резонансного дипольного рассеяния.

Согласно /30/ и /31/, если векторы \vec{k} и \vec{R} параллельны ($\theta_0 = 0$ или $\theta_0 = \pi$), вклад в резонансное рассеяние дают только коллективные уровни с проекциями спина, равными +1 или -1. Это связано с тем, что спиральность фотона принимает значения ± 1 . Ввиду вырождения уровней по знаку m в этом случае имеем только два резонанса с частотами $\omega_{L,1}^{(+)}$ и $\omega_{L,1}^{(-)}$ и ширинами $\gamma_{L,1}^{(+)}$ и $\gamma_{L,1}^{(-)}$. С другой стороны, если $\theta_0 = \frac{\pi}{2}$, в формулах /30/ и /31/ исчезают члены, соответствующие антисимметричным состояниям $|\psi_m^{(-)}\rangle$; при этом резонансные энергии фотонов, поляризованных вдоль и перпендикулярно \vec{R} , различны. Действительно, из свойств d -функций следует, что при $\theta = \frac{\pi}{2}$ одна из амплитуд /29/ или /29' равна нулю. В случае EL-переходов резонансное рассеяние фотонов, поляризованных параллельно \vec{R} , определяется уровнями $|\psi_m^{(+)}\rangle$ с нечетными значениями суммы $(L+m)$, а рассеяние фотонов с вектором поляризации $\vec{e} \perp \vec{R}$ - уровнями $|\psi_m^{(+)}\rangle$ с четными $(L+m)$. Если резонансное рассеяние связано с ML-переходами, то наоборот, нечетным $(L+m)$ отвечает вектор поляризации, перпендикулярный \vec{R} , а четным - параллельный.

в. Излучение двух возбужденных центров. На основе результатов §3 можно также определить спектр излучения двух одинаковых возбужденных центров В, находящихся в точках R_1 и R_2 . Уровни $|\psi_m^{(\pm)}\rangle$, соответствующие возбуждению одного из центров, являются в этом случае промежуточными. Конкретные соотношения для формы спектра могут быть получены в рамках развитой в работе [9] теории каскадного распада двух возбужденных атомов, в которой учитывается интерференция двух-фотонных амплитуд, связанная с исходной эквидистантностью системы. Заметим, что в работе [9] предполагалось, что возбужденные состояния не вырождены, причем излучение имеет дипольный характер. Однако общая структура спектра не зависит от этих допущений. Если оба центра находятся в одинаковых состояниях B_m со спином L , спектральное распределение интенсивности после интегрирования по углам вылета фотонов имеет вид

$$R_{L,m}(\omega) = R_{L,m}^{(+)}(\omega) + R_{L,m}^{(-)}(\omega),$$

где

$$\begin{aligned} R_{L,m}^{(\pm)}(\omega) &= \frac{1}{4\pi} (\gamma_L \pm \Delta\gamma_{L,m}) \left\{ \frac{(3\gamma_L \pm \Delta\gamma_{L,m})(1 - a_{L,m}^{(\pm)}) + b_{L,m}^{(\pm)}(\omega - \omega_0 \pm \Delta\omega_{L,m})}{(\omega - \omega_0 \pm \Delta\omega_{L,m})^2 + \frac{1}{4}(3\gamma_L \pm \Delta\gamma_{L,m})^2} + \right. \\ &\quad \left. + \frac{(\gamma_L \pm \Delta\gamma_{L,m})(1 + a_{L,m}^{(\pm)}) + b_{L,m}^{(\pm)}(\omega_0 - \omega \pm \Delta\omega_{L,m})}{(\omega_0 - \omega \pm \Delta\omega_{L,m})^2 + \frac{1}{4}(\gamma_L \pm \Delta\gamma_{L,m})^2} \right\}, \end{aligned} \quad /32/$$

$$a_{L,m}^{(\pm)} = \frac{(\gamma_L \pm \Delta\gamma_{L,m})\gamma_L}{\gamma_L^2 + 4\Delta\omega_{L,m}^2}, \quad b_{L,m}^{(\pm)} = \frac{4(\gamma_L \pm \Delta\gamma_{L,m})\Delta\omega_{L,m}}{\gamma_L^2 + 4\Delta\omega_{L,m}^2}.$$

Функция $R_{L,m}^{(+)}(\omega)$ описывает вклад симметричного промежуточного состояния $|\psi_m^{(+)}\rangle$, а функция $R_{L,m}^{(-)}(\omega)$ антисимметричного состояния $|\psi_m^{(-)}\rangle$.

Из /32/ и асимптотических формул /26/ вытекает, что, если расстояние между центрами велико ($x = k_0 R \gg 1$), в спектре излучения, как и следовало ожидать, остается лишь одна лоренцовская линия с частотой ω_0 и шириной $4\gamma_L$, т.е. оба центра излучают независимо. В противоположном предельном случае $x \ll 1$ спектр состоит из двух неперекрывающихся линий одинаковой интенсивности, одна из которых имеет частоту $\omega_0 - \Delta\omega_{L,m}$ и ширину $4\gamma_L$, а другая - частоту $\omega_0 + \Delta\omega_{L,m}$ и ширину $2\gamma_L$. При этом можно пренебречь вкладом распада системы через состояние $|\psi_m^{(-)}\rangle$ и интерференционным искажением спектра*.

Если проекции спина возбужденных центров не равны друг другу ($m_1 \neq m_2$), спектр излучения определяется уже четырьмя промежуточными уровнями: $|\psi_{m_1}^{(\pm)}\rangle$ и $|\psi_{m_2}^{(\pm)}\rangle$.

§5. Спиновая структура резонансного взаимодействия

При произвольных спинах возбужденного и основного состояний матричные элементы оператора 2^L -польного взаимодействия атомов или ядер выражаются через введенные ранее функции $U_{|m|}^{(I,J)}(x)$. В представлении, отвечающем выбору оси квантования спина вдоль вектора \vec{R} ($m = m_1 - m_2 = m'_1 - m'_2$),

$$\begin{aligned} &\langle B_{m_1}(1) A_{m_2}(2) | \hat{V}^{(L)} | A_{m'_2}(1) B_{m'_1}(2) \rangle = \\ &= h\gamma_L C \frac{s_B m_1}{s_A m'_2 L^m} C \frac{s_B m'_1}{s_A m'_2 L^m} U_{|m|}^{(L)}(x), \end{aligned} \quad /33/$$

* Строго говоря, при $R \ll \lambda$ на линию с частотой $\omega_0 - \Delta\omega_{L,m}$ и шириной $4\gamma_L$ накладывается, в соответствии с /32/, узкий пик, высота которого в два раза превышает высоту основного пика. Однако вклад узкого пика, соответствующего распаду антисимметричного состояния, в интегральную интенсивность линии исчезающе мал /имеет порядок величины $\gamma_{L,m}^{(-)}/\gamma_L \sim x^2 \ll 1$ /.

где γ_L - вероятность 2^L-польного перехода $B \rightarrow A + \gamma$ в единицу времени. В частности, если спин возбужденного состояния равен нулю, а основного $L(s_B=0, s_A=L)$, то сдвиги частот и изменения ширины колективных возбужденных состояний типа /3/, выраженные в единицах γ_L , в $(2L+1)$ раз меньше, чем в рассмотренном выше случае $s_B=L, s_A=0$.

С учетом /18/ и /33/, электромагнитное взаимодействие между возбужденным и невозбужденным центрами имеет общую структуру

$$\hat{V} = \hbar \hat{f}(x) \frac{e^{ix}}{x} \hat{P}_{AB}, \quad /34/$$

где \hat{P}_{AB} - обменный оператор, меняющий местами состояния А и В^{/6/}, γ - радиационная ширина изолированного центра /при переходах смешанной мультипольности $\gamma = \sum_L \gamma_L$ /, $\hat{f}(x)$ - матрица в спиновом пространстве

центров А и В, содержащая полиномы степени $N \leq 2(s_A + s_B)$ по переменной $1/x$. Так как собственные значения \hat{P}_{AB} равны ± 1 , колективные квазистационарные состояния всегда симметричны или антисимметричны по отношению к перестановке $A \leftrightarrow B$. Они соответствуют определенному значению проекции суммарного спина системы

$\hat{S} = \hat{s}_A + \hat{s}_B$ на вектор \vec{R} , но при $s_A \neq 0, s_B \neq 0$, вообще говоря, не являются собственными состояниями оператора \hat{S}^2 . Исключение составляет случай $s_A = s_B = 1/2$ /см. ниже/.

Выпишем явный вид $\hat{f}(x)$ для чисто дипольных переходов ($\gamma = \gamma_1$). При $s_B = 1, s_A = 0$ /6/

$$\hat{f}(x) = F(x) = D(x)(\hat{S}\hat{n})^2, \quad /35/$$

где $\hat{n} = \vec{R}/R$,

$$F(x) = xe^{-ix} U_0^{(1)}(x) = -\frac{3}{2} \left(\frac{1}{x^2} - \frac{i}{x} \right), \quad /36/$$

$$D(x) = xe^{-ix} (U_1^{(1)}(x) - U_0^{(1)}(x)) = -\frac{3}{4} \left(1 + \frac{3i}{x} - \frac{3}{x^2} \right).$$

Если $s_B=0, s_A=1$, то

$$\hat{f}(x) = \frac{1}{3} F(x) + \frac{1}{3} D(x)(\hat{S}\hat{n})^2. \quad /35'/$$

В частности, в длинноволновом пределе ширины спектральных линий, согласно /35/, равны $\gamma_{1,0}^{(+)} = \gamma_{1,1}^{(+)} = \frac{4}{3}\gamma_1$ и $\gamma_{1,0}^{(-)} = \gamma_{1,1}^{(-)} = \frac{2}{3}\gamma_1$.

Можно показать, что в случае $s_A = s_B = \frac{1}{2}$

$$\hat{f}(x) = \frac{1}{3} \{ F(x)[1 - 2(\hat{S}\hat{n})^2 + \hat{S}^2] + 2D(x)[1 - (\hat{S}\hat{n})^2] \}. \quad /37/$$

В таблице приведены собственные значения матрицы

S	M	$f_{SM}(x)$	$\omega_{1,SM}^{(\pm)}(x \ll 1)$	$\gamma_{1,SM}^{(+)}(x \ll 1)$	$\gamma_{1,SM}^{(-)}(x \ll 1)$
1	± 1	$\frac{1}{3} F(x)$	$\omega_0 \mp \frac{1}{2} \frac{\gamma_1}{x^3}$	$\frac{4}{3}\gamma_1$	$\frac{2}{3}\gamma_1$
	0	$F(x) + \frac{2}{3} D(x)$	$\omega_0 \mp \frac{\gamma_1}{2x}$	$2\gamma_1$	$\frac{1}{6}\gamma_1 x^2$
	0	$\frac{1}{3} F(x) + \frac{2}{3} D(x)$	$\omega_0 \pm \frac{\gamma_1}{x^3}$	$\frac{4}{3}\gamma_1$	$\frac{2}{3}\gamma_1$

/37/, отвечающие определенным значениям суммарного спина S и его проекции M, а также частоты и ширины спектральных линий при значениях $x=k_0 R \ll 1$. Заметим, что антисимметричный уровень с квантовыми числами $S=1, M=0$ при $R \ll 1/k_0 = \lambda$ является долгоживущим ($\gamma_{1,10}^{(-)} \ll \gamma_1$).

Если центры не являются неподвижными, а частоты ν , характеризующие их движение, удовлетворяют условиям $\omega_0 \gg \nu$, выражение /34/ следует рассматривать как оператор не только в спиновом, но и в координатном пространстве двух центров /6/. Ясно, что из-за наличия в /34/ экспоненты с мнимым показателем все колективные эффекты должны исчезать, если длина волны фотона гораздо меньше линейных размеров областей пространственной локализации излучателей. В частности,

заметное изменение времени жизни возбужденного ядра в кристалле в присутствии невозбужденных ядер того же типа имеет место лишь при условии $\lambda \gtrsim a_{\text{кол.}}$, где $a_{\text{кол.}}$ - амплитуда колебаний. Фактор подавления здесь такой же, как и для эффекта Мессбауэра. Аналогичная ситуация возникает и в случае двухатомных молекул с изомерными ядрами, свойства которых обсуждались в работе [6].

Автор выражает благодарность В.Г.Барышевскому и М.И.Подгорецкому за интерес к работе и полезные замечания.

Литература

1. R.H.Dicke. *Phys.Rev.*, 93, 99, 1954.
2. М.И.Подгорецкий, И.И.Ройзен. ЖЭТФ, 39, 1473, 1960.
3. M.J.Stephen. *J.Chem.Phys.*, 40, 669, 1964.
4. D.A.Hutchinson, F.T.Hatasa. *J.Chem.Phys.*, 41, 2006, 1964.
5. В.Л.Любошиц. ЖЭТФ, 52, 926, 1967.
6. В.Л.Любошиц. ЖЭТФ, 53, 1630, 1967.
7. J.W.Czarnic, P.R.Fontana. *J.Chem.Phys.*, 50, 4071, 1969.
8. Ю.А.Вдовин, А.М.Ермаченко. Сб. Вопросы теории атомных столкновений, стр. 111, М., Атомиздат, 1970.
9. Д.Ф.Смирнов, И.В.Соколов, Е.Д.Трифонов. ЖЭТФ, 63, 2105, 1972.
10. R.H.Lehmberg. *Phys.Rev.*, A2, 883, 1970;
Phys.Rev., A2, 889, 1970.
11. F.T.Arrechi, E.Courtens. *Phys.Rev.*, A2, 1730, 1970.
12. W.E.Rehler, J.H.Eberly. *Phys.Rev.*, A3, 1735, 1971.
13. H.Morawitz. *Phys.Rev.*, A7, 1148, 1973.
14. А.И.Ахиезер, В.Б.Берестецкий. Квантовая электродинамика, М., Наука, 1969.
15. Е.М.Лифшиц, Л.П.Питаевский. Релятивистская квантовая теория, часть. 2, М., Наука, 1971.
16. В.Б.Берестецкий, Е.М.Лифшиц, Л.П.Питаевский. Релятивистская квантовая теория, часть 1, М., Наука, 1968.

Рукопись поступила в издательский отдел
29 сентября 1976 года.